

# УСЛОВИЯ СУЩЕСТВОВАНИЯ ПЕРИОДИЧЕСКИХ ДВИЖЕНИЙ ГИРОСТАТА КОВАЛЕВСКОЙ В ДВОЙНОМ ПОЛЕ<sup>1</sup>

И.И. Харламова, Г.Е. Смирнов

Волгоградская академия государственной службы  
Россия, 400131, Волгоград, ул. Гагарина, 8  
E-mail: irinah@vags.ru

Московский государственный университет им. М.В. Ломоносова  
Москва, Воробьевы горы  
E-mail: glebevgen@yandex.ru

*Получено 13 августа 2010 г.*

Изучаются особые периодические движения (критические точки ранга 1 интегрального отображения), найденные в работе М.П. Харламова (Механика твердого тела, вып. 37, 2007) в интегрируемой задаче о движении гиростата в двойном поле при условиях Ковалевской на моменты инерции. Исследованы возможные перестройки внутри множества этих решений в зависимости от существенных параметров – одного интегрального и двух физических. Получены аналитические уравнения разделяющего множества и его особенностей, указано количество возникающих областей с различным набором решений. Найден образ разделяющего множества в пространстве параметров, задающих бифуркационные диаграммы на изоэнергетических уровнях. Вычисления, связанные с преобразованиями многочленов высоких степеней, выполнены в компьютерной системе Mathematica 7.

## 1 Введение

В невырожденной интегрируемой гамильтоновой системе критические точки ранга 1 (так называемые особые периодические движения) организованы в подсистемы с одной степенью свободы. Поэтому в принципе соответствующие траектории образуют однопараметрические семейства (при фиксированных физических параметрах задачи). Сам факт построения периодических решений всегда имеет в динамике особое значение. Но важность исследования таких семейств, кроме этого, состоит также и в том, что в системах с тремя степенями свободы их бифуркации порождают перестройки типов плоских сечений бифуркационных диаграмм задачи в целом. В случае Ковалевской–Реймана–Семенова–Тян-Шанского [1] при отсутствии гиростатического момента  $\lambda$  (волчок в двойном поле) явное представление зависимости особых периодических движений (ОПД) от одного интегрального параметра позволили получить [2] полную классификацию бифуркационных диаграмм  $\Sigma_h$  интегрального отображения на изоэнергетических поверхностях  $H = h$ , т.е. построить разделяющее множество на плоскости  $(h, \gamma)$ , где  $\gamma$  – единственный существенный физический параметр задачи (отношение напряженностей силовых полей). При  $\lambda \neq 0$  (гиростат в двойном поле) все критические точки ранга 1 также найдены [3] и уравнения соответствующих ОПД интегрируются в эллиптических функциях. Однако эти решения удалось выписать

<sup>1</sup>Работа выполнена при финансовой поддержке гранта РФФИ и Администрации Волгоградской области № 10-01-97001.

лишь в зависимости от двух нефизических параметров, связанных уравнением высокой степени. Через эти же параметры выражены и постоянные общих интегралов. Это удобно для численного построения плоских диаграмм  $\Sigma_h$ , так как при заданном  $h$  эффективно вычисляются все граничные точки одномерных сегментов. Попытки явно описать соответствующие разделяющие поверхности в пространстве  $(h, \gamma, \lambda)$ , названные атласом бифуркационных диаграмм [4], еще не привели к окончательному результату. В настоящей работе выполнено исследование условий существования и бифуркаций ОПД, выписаны явные уравнения соответствующих разделяющих поверхностей. Отметим, что многие вычисления выполнены в компьютерной системе Mathematica 7 (Academic License # L3298-7174) ввиду крайне высоких вычислительных сложностей. При этом во всех случаях удалось провести исследование полностью, доказать все утверждения о количестве и характере решений тех или иных уравнений. Несмотря на использование компьютерных технологий, все рассуждения, представленные ниже, являются доказательствами, поскольку описаны все этапы вычислений, предъявлены промежуточные результаты, и любое вычисление при необходимости может быть легко повторено. Ряд результатов вывести «вручную» уже нельзя. В то же время, в большинстве случаев получить ответ напрямую не помогает и компьютер – необходимо увидеть и задать в компьютерной системе нужную подстановку. Поэтому, несмотря на фантастические возможности систем аналитических вычислений, роль исследователя по-прежнему остается решающей.

## 2 Исходные уравнения

Пусть  $\alpha, \beta$  – характеристические векторы взаимно ортогональных силовых полей с модулями  $|\alpha| = a, |\beta| = b$  и

$$a > b > 0. \quad (1)$$

Пусть  $\omega$  – угловая скорость тела,  $\lambda$  – единственная отличная от нуля, осевая компонента вектора гиросtatического момента. Выражения фазовых переменных через вспомогательную переменную  $w = \omega_1^2 + \omega_2^2 \geq 0$  описываются уравнениями (30) работы [3]. В этих выражениях фигурируют физические параметры  $\lambda, p, r$  ( $p = \sqrt{a^2 + b^2} > r = \sqrt{a^2 - b^2} > 0$ ), а также два параметра  $\sigma, u$ , первый из которых есть неопределенный множитель Лагранжа в линейной зависимости дифференциалов общих интегралов, и потому сам является частным интегралом на рассматриваемых траекториях, а второй – вспомогательный параметр, введенный в процессе вычислений с целью получения простых формул и связанный с  $\sigma$  уравнением

$$L = \lambda^2(\lambda^2 + \sigma)^2 u^5 + (\lambda^2 + \sigma)[2p^2 \lambda^4 - (\lambda^2 + \sigma)^3 \sigma] \sigma u^4 + r^4 \lambda^6 \sigma^2 u^3 + 2r^4 \lambda^4 \sigma^4 (\lambda^2 + \sigma)^2 u^2 - r^8 \lambda^8 \sigma^6 = 0. \quad (2)$$

Зависимость  $w$  от времени описывается уравнением

$$\left(\frac{dw}{dt}\right)^2 = -\frac{\lambda^2}{4\sigma^2} P_4(w), \quad (3)$$

где  $P_4(w) = P_+(w)P_-(w)$  и

$$P_{\pm}(w) = w^2 + 2\sigma^2 \frac{u \pm r^2 \lambda^2}{\lambda^2 u} w + \frac{\sigma[u^3 - (\lambda^2 + \sigma)\sigma^2 u^2 + r^4 \lambda^4 \sigma^3]}{(\lambda^2 + \sigma)\lambda^2 u^2}.$$

В частности, условия вещественности решений имеют вид системы неравенств

$$P_4(w) \leq 0, \quad w \geq 0, \quad (4)$$

исследование совместности которых будем проводить в плоскости  $(\sigma, \lambda)$  с учетом зависимости от  $a, b$ . Хотя существенным является лишь отношение  $\gamma = b/a \in (0, 1)$ , сохраним в

общих уравнениях оба параметра для возможности в будущем использовать любые предельные переходы. Отметим, что во всех приведенных формулах встречаются лишь четные степени  $\lambda$ , поэтому достаточно рассмотреть полуплоскость  $\lambda \geq 0$ . Ниже все утверждения формулируются для этой полуплоскости, что особо уже не оговаривается. При фиксированных  $\sigma, \lambda$  имеется до пяти значений  $u$ , удовлетворяющих (2). Некоторым из них соответствуют решения уравнения (3) при условиях (4), причем таких решений может быть и несколько, если множество (4) несвязно. Пусть  $\mathcal{P}(\sigma, \lambda, u)$  – набор решений (3) как совокупность геометрических объектов на плоскости  $(w, \dot{w})$  и пусть  $\mathcal{P}(\sigma, \lambda) = \cup_u \mathcal{P}(\sigma, \lambda, u)$ . Применительно к задаче количественной классификации ОПД назовем *разделяющим множеством* подмножество  $\mathcal{S}$  в плоскости  $(\sigma, \lambda)$ , при переходе через которое меняется набор  $\mathcal{P}(\sigma, \lambda)$ . Сразу же отметим часть  $\mathcal{S}_0$  разделяющего множества  $\mathcal{S}$ , состоящую из координатных осей и особой параболы  $\Pi : \lambda^2 + \sigma = 0$ . На этом множестве выражения для явных решений, выписанные в [3], имеют особенности. Как показано в [5], особенность на параболе устранима предельным переходом, однако перестройки в множестве  $\mathcal{P}(\sigma, \lambda)$  при этом не исключены.

### 3 Первое разделяющее множество

Периодические решения претерпевают бифуркации при переходе через неподвижные точки, которые соответствуют кратному корню многочлена  $P_4$ . Дискриминанты многочленов  $P_{\pm}$  имеют вид

$$\frac{\sigma}{\lambda^4(\lambda^2 + \sigma)u^2} D_{\pm}, \quad D_{\pm} = [r^2 \lambda^2 \sigma \pm (\lambda^2 + \sigma)u]^2 \sigma^2 - \lambda^2 u^3.$$

**Замечание 1** (1). *Здесь и далее в результатах и дискриминантах нас интересует лишь их зависимость от параметров (возможность обращения в нуль) и, в отдельных случаях, их знак. Поэтому, для простоты записи, пишем выражения, имея в виду равенство с точностью до положительного числового множителя.*

В соответствии с этой договоренностью, результаты многочленов  $D_{\pm}$  с многочленом  $L$  по переменной  $u$  равны  $r^{16}(p^2 \pm r^2)^3 \lambda^{30} \sigma^{19} (\lambda^2 + \sigma)^3$ . Эти значения не обращаются в нуль за пределами  $\mathcal{S}_0$ . Следовательно, кратный корень  $P_4$  может быть лишь общим корнем  $P_+$  и  $P_-$ . Тогда, как и должно быть в неподвижной точке, этот корень нулевой. Поэтому

$$P_0(u) = u^3 - (\lambda^2 + \sigma)\sigma^2 u^2 + r^4 \lambda^4 \sigma^3 = 0. \quad (5)$$

Приравниваем к нулю результат многочленов  $L$  и  $P_0$  по  $u$ , получим

$$r^{16} \lambda^{24} \sigma^{15} (\lambda^2 + \sigma)^3 \{ r^8 + r^4 [6p^2 \lambda^4 + \lambda^8 - 4\lambda^2 (p^2 + \lambda^4) \sigma - 2(2p^2 + \lambda^4) \sigma^2 + 4\lambda^2 \sigma^3 + 2\sigma^4] - [\sigma(\lambda^2 + \sigma) - 2p^2]^2 [2p^2 \lambda^4 - \sigma^2 (\lambda^2 + \sigma)^2] \} = 0.$$

Вне  $\mathcal{S}_0$  достаточно найти нули выражения в фигурной скобке, которое разлагается на множители в виде  $Q_1 Q_2 Q_3 Q_4$ . Поэтому первое разделяющее множество (ПРМ) в составе  $\mathcal{S}$  – четыре кривые

$$\begin{aligned} Q_1 &= (a - b)^2 + (a + b)\lambda^2 - (\lambda^2 + \sigma)\sigma = 0, \\ Q_2 &= (a + b)^2 + (a - b)\lambda^2 - (\lambda^2 + \sigma)\sigma = 0, \\ Q_3 &= (a + b)^2 - (a - b)\lambda^2 - (\lambda^2 + \sigma)\sigma = 0, \\ Q_4 &= (a - b)^2 - (a + b)\lambda^2 - (\lambda^2 + \sigma)\sigma = 0. \end{aligned}$$

Сами эти кривые будем обозначать так же, как и левые части уравнений – через  $Q_1 - Q_4$ , а их объединение – через  $\mathcal{S}_1$ . Значения энергии в неподвижных точках тела в двойном поле

хорошо известны (см., например, [6]). В работе [3] выполнен сдвиг энергии на константу. Примем здесь стандартное выражение интеграла энергии

$$H = \omega_1^2 + \omega_2^2 + \frac{1}{2}\omega_3^2 - (\alpha_1 + \beta_2),$$

тогда его критические значения таковы

$$h = \pm a \pm b. \quad (6)$$

Покажем, как получить их в точках ПРМ. Исключая старшие степени  $u$  в многочленах  $P_0$  и  $L$ , на кривых  $Q_i$  найдем

$$u_{1,2} = (a \pm b)\lambda^2\sigma, \quad u_{3,4} = (-a \pm b)\lambda^2\sigma. \quad (7)$$

Подставим в функцию  $H$  значения фазовых переменных, полученные из выражений (8), (30) работы [3]:

$$h = -\frac{u^3\lambda^2 - r^4\lambda^4\sigma^3(\lambda^2 + 2\sigma) + u^2\sigma^2(\lambda^2 + \sigma)(\lambda^2 + 2\sigma)}{2u^2\lambda^2\sigma(\lambda^2 + \sigma)}. \quad (8)$$

Исключим отсюда  $u^3$  с помощью условия (5), и подставим  $u_i$  из (7). Получим критические значения (6), занумерованные в порядке возрастания.

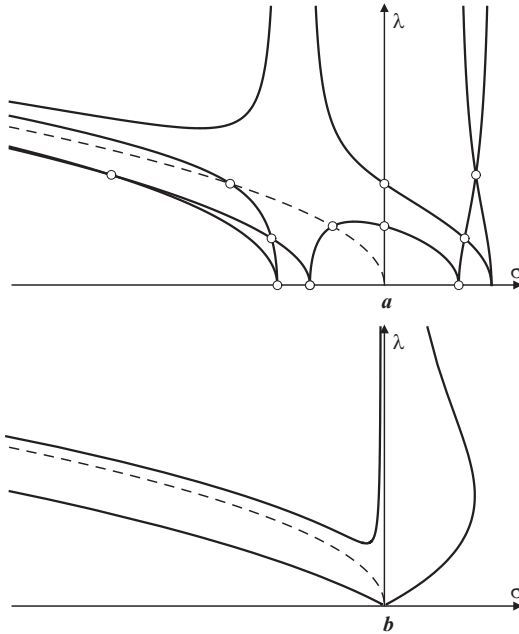


Рис. 1: Первое и второе разделяющие множества.

Геометрия ПРМ определяется следующим непосредственно проверяемым утверждением.

**Предложение 1.** *Первое разделяющее множество имеет ровно четыре кратные точки при  $\lambda > 0$*

$$Q_1 \cap Q_2 = \{q_+^{(12)}, q_-^{(12)}\}, \quad Q_1 \cap Q_3 = \{q_+^{(13)}, q_-^{(13)}\},$$

где

$$q_{\pm}^{(12)} = (-a \pm \sqrt{4a^2 + b^2}, \sqrt{2a}), \quad q_{\pm}^{(13)} = (-b \pm \sqrt{a^2 + 4b^2}, \sqrt{2b}), \quad (9)$$

четыре точки пересечения с осью  $\lambda = 0$  (каждая принадлежит двум кривым)

$$Q_1 \cap Q_4 \cap \{\lambda = 0\} = \{(-a + b, 0), (a - b, 0)\},$$

$$Q_2 \cap Q_3 \cap \{\lambda = 0\} = \{(-a - b, 0), (a + b, 0)\},$$

две точки пересечения с осью  $\sigma = 0$

$$Q_3 \cap \{\sigma = 0\} = \left(0, \frac{a+b}{\sqrt{a-b}}\right), \quad Q_4 \cap \{\sigma = 0\} = \left(0, \frac{a-b}{\sqrt{a+b}}\right)$$

и две точки пересечения с особой параболой

$$Q_3 \cap \Pi = \left(-\frac{(a+b)^2}{a-b}, \frac{a+b}{\sqrt{a-b}}\right), \quad Q_4 \cap \Pi = \left(-\frac{(a-b)^2}{a+b}, \frac{a-b}{\sqrt{a+b}}\right).$$

Из найденных выражений для координат кратных точек следует, что пересечения трех кривых  $Q_i$  в одной точке невозможны. Таким образом, множество  $S_1$  вместе с отмеченным ранее особым множеством  $S_0$  разбивает верхнюю полуплоскость на 19 областей (рис. 1, а, штриховой линией показана особая парабола).

## 4 Второе разделяющее множество

Количество решений в зависимости от параметров может изменяться при переходе через такие значения, при которых уравнение (2) имеет кратный корень по  $u$ . Назовем это множество параметров вторым разделяющим множеством (ВРМ) и обозначим через  $S_2$ . Из условия  $L'_u = 0$ , учитывая, что в (2)  $u \neq 0$ , получим

$$5u^3\lambda^2(\lambda^2 + \sigma)^2 - 4u^2\sigma(\lambda^2 + \sigma)[\sigma(\lambda^2 + \sigma)^3 - 2p^2\lambda^4] + 3r^4u\lambda^6\sigma^2 + 4r^4\lambda^4\sigma^4(\lambda^2 + \sigma)^2 = 0. \quad (10)$$

Условие совместности по  $u$  уравнений (2), (10) за пределами  $S_0$  приводит к уравнению

$$R_L = 27r^8\lambda^{16} - 256\sigma(\lambda^2 + \sigma)^3[\sigma(\lambda^2 + \sigma)^3 - 2p^2\lambda^4]^3 + 864r^4\lambda^8\sigma(\lambda^2 + \sigma)^3[5\sigma(\lambda^2 + \sigma)^3 - 2p^2\lambda^4] = 0. \quad (11)$$

Для его упрощения заметим, что в выражении  $R_L$  параметры  $\lambda, \sigma$  входят в виде определенной комбинации. Обозначим

$$V = \frac{4(\lambda^2 + \sigma)^3\sigma}{\lambda^4}, \quad (12)$$

тогда уравнение (11) перепишется в виде

$$R_L^* = V^4 - 24p^2V^3 + 6(32p^4 - 45r^4)V^2 - 16p^2(32p^4 - 27r^4)V - 27r^8 = 0. \quad (13)$$

**Предложение 2.** В области параметров (1) уравнение (13) имеет ровно два вещественных корня  $V_1, V_2$  противоположных знаков

$$V_1 = (\varkappa_1 + \varkappa_2)^3 > 0, \quad V_2 = (\varkappa_1 - \varkappa_2)^3 < 0. \quad (14)$$

Здесь  $\varkappa_1 = \sqrt{r^{4/3} + (p^4 - r^4)^{1/3}}$ ,  $\varkappa_2 = \sqrt{2r^{4/3} - (p^4 - r^4)^{1/3} + 2p^2\varkappa_1^{-1}}$ .

*Доказательство.* Непосредственное вычисление корней обозримых выражений не дает. Выполним подстановку  $V = W^3$ ,  $r = q^3$ , получим разложение  $R_L^* = P_1 P_2$ , где

$$P_1 = 3q^8 + 8p^2 W + 6q^4 W^2 - W^4,$$

$$P_2 = 9q^{16} - 24p^2 q^8 W + 64p^4 W^2 - 18q^{12} W^2 - 48p^2 q^4 W^3 + 39q^8 W^4 - 16p^2 W^5 + 6q^4 W^6 + W^8.$$

Дискриминант  $P_2$  равен  $r^{40/3}(512p^4 - 169r^4)^2(p^4 - r^4)^4$  (см. замечание 1), поэтому в области (1) многочлен  $P_2$  кратных корней не имеет, а численная проверка дает все комплексные корни. Вычисление корней  $P_1$  приводит к выражениям

$$\varepsilon_1 \sqrt{r^{4/3} + (p^4 - r^4)^{1/3}} + \varepsilon_2 \sqrt{2r^{4/3} - (p^4 - r^4)^{1/3} + \varepsilon_1 \frac{2p^2}{\sqrt{r^{4/3} + (p^4 - r^4)^{1/3}}}},$$

где  $\varepsilon_i = \pm 1$ . Заметим, что

$$\left[ \frac{2p^2}{\sqrt{r^{4/3} + (p^4 - r^4)^{1/3}}} \right]^2 - \left[ 2r^{4/3} - (p^4 - r^4)^{1/3} \right]^2 = 3(p^4 - r^4)^{2/3} > 0,$$

поэтому вещественные корни отвечают только значению  $\varepsilon_1 = 1$ . Произведение всех корней отрицательно, поэтому пара вещественных корней имеет разные знаки, но, очевидно, что корень с  $\varepsilon_2 = 1$  положительный. Утверждение доказано.  $\square$

Теперь кривые в составе ВРМ легко строятся численно (рис. 1, *b*). Удобно ввести параметризацию, положив  $\sigma = s\lambda^2$ . Тогда из (12) получим следующие три ветви ВРМ:

$$\begin{aligned} D_A : \lambda &= \sqrt[4]{\frac{V_1}{4s(1+s)^3}}, & \sigma &= \frac{s}{2} \sqrt{\frac{V_1}{s(1+s)^3}}, & s &\in (-\infty, -1); \\ D_B : \lambda &= \sqrt[4]{\frac{V_1}{4s(1+s)^3}}, & \sigma &= \frac{s}{2} \sqrt{\frac{V_1}{s(1+s)^3}}, & s &\in (0, +\infty); \\ D_C : \lambda &= \sqrt[4]{\frac{V_2}{4s(1+s)^3}}, & \sigma &= \frac{s}{2} \sqrt{\frac{V_2}{s(1+s)^3}}, & s &\in (-1, 0). \end{aligned} \quad (15)$$

Как видно из рис. 1, *b* кривые в составе  $\mathcal{S}_2$  вместе с множеством  $\mathcal{S}_0$  делят верхнюю полуплоскость на шесть областей. В каждой из них сохраняется количество корней многочлена  $L(u)$ . Заметим, что  $L(0) = -r^8 \lambda^8 \sigma^6$  обращается в нуль только на осях координат. Поэтому в каждой из областей не могут изменяться и знаки корней. Теперь всю необходимую информацию о корнях  $L(u)$  легко получить численно.

Для нахождения значения энергии, отвечающего этим разделяющим случаям, необходимо выразить общий корень  $u$  уравнений (2), (10). Для этого в дополнение к (12) выполним подстановку  $u = \sigma \sqrt[3]{\lambda^2 \sigma Z}$ . Система уравнений примет вид

$$\begin{aligned} (2V)^{1/3} Z^4 [8p^2 - V + 2(2V)^{1/3} Z] + 4r^4 [(2V)^{2/3} + 2Z] Z^2 - 8r^8 &= 0, \\ (2V)^{1/3} Z^2 [16p^2 - 2V + 5(2V)^{1/3} Z] + 4r^4 [(2V)^{2/3} + 3Z] &= 0. \end{aligned} \quad (16)$$

Условие ее совместности по  $Z$ , естественно, дает уравнение (13) с решениями (14). Приравняем к нулю результат левых частей (16) по переменной  $V^{1/3}$ , получим

$$r^4 (p^4 - r^4) Z^{14} (Z^3 - 4r^4)^4 = 0,$$

а поскольку из первого уравнения (16) следует, что  $Z \neq 0$ , то  $Z = r\sqrt[3]{4r}$ , и, следовательно, кратный корень  $L(u)$  равен  $u = r\sigma\sqrt[3]{4r\lambda^2\sigma}$ . Подставляя это значение вместе с (15) в (8), найдем

$$h = -\frac{s(2s+1)V^{2/3} + (2s^2 + s - 1)r^{4/3}}{4\sqrt{s(1+s)^3}V^{1/6}}. \quad (17)$$

Здесь  $V = V_{1,2}$  согласно (14), а промежуток изменения параметра  $s$  определяется в соответствии с уравнениями (15). Из (15) возьмем формулы и для  $\lambda(s)$ . Получим, после перехода к безразмерным переменным  $b/a, h/a, \lambda/\sqrt{a}$ , параметрические уравнения разделяющей поверхности для классификации бифуркационных диаграмм на изоэнергетических уровнях, разрешающие неявные уравнения работы [4]. Более того, промежутки изменения  $s$  определяют условия, при которых действительно реализуются перестройки таких диаграмм. В силу ограниченности объема публикации, мы не приводим иллюстраций, которые теперь легко могут быть построены.

## 5 Пересечения разделяющих множеств

Для того чтобы получить общую картину на плоскости  $(\sigma, \lambda)$ , найдем пересечения  $\mathcal{S}_2$  с кривыми  $Q_i$ , составляющими  $\mathcal{S}_1$ .

Остановимся более подробно на пересечении  $\mathcal{S}_2 \cap Q_1$ . Из уравнения  $Q_1$  выразим

$$\lambda^2 = \frac{\sigma^2 - (a-b)^2}{a+b-\sigma} \quad (18)$$

и подставим в уравнение (11). Получим  $M_1^2(\sigma)N_1(\sigma) = 0$ , где

$$\begin{aligned} M_1 &= (a-b)^4(a+b) - 4(a^2-b^2)^2\sigma + 6(a-b)^2(a+b)\sigma^2 - \\ &\quad - 4(a-b)^2\sigma^3 + (a+b)\sigma^4, \\ N_1 &= (a-b)^{10} \sum_{i=0}^{12} (a-b)^{-i} A_i \sigma^i \end{aligned}$$

и

$$\begin{aligned} A_0 &= 27(a-b)^2(a+b)^6, \\ A_1 &= -4(a+b)(53a^6 - 270a^5b + 1131a^4b^2 - 1188a^3b^3 + 1131a^2b^4 - \\ &\quad - 270ab^5 + 53b^6), \\ A_2 &= 2(a+b)^2(331a^6 - 3342a^5b + 9525a^4b^2 - 12516a^3b^3 + 9525a^2b^4 - \\ &\quad - 3342ab^5 + 331b^6), \\ A_3 &= -12(a^2-b^2)(75a^6 - 286a^5b - 1547a^4b^2 + 2236a^3b^3 - \\ &\quad - 1547a^2b^4 - 286ab^5 + 75b^6), \\ A_4 &= -(75a^8 - 14492a^7b + 39404a^6b^2 + 12444a^5b^3 - 50286a^4b^4 + \\ &\quad + 12444a^3b^5 + 39404a^2b^6 - 14492ab^7 + 75b^8), \\ A_5 &= 8(a^2-b^2)(267a^6 - 2986a^5b - 1627a^4b^2 + 6068a^3b^3 - 1627a^2b^4 - \\ &\quad - 2986ab^5 + 267b^6), \\ A_6 &= -12(273a^8 - 5492a^6b^2 + 6342a^4b^4 - 5492a^2b^6 + 273b^8), \\ A_{12-i}(a,b) &= A_i(a,-b) \quad (i = 0, \dots, 5). \end{aligned}$$

Корни  $M_1$  отвечают за точки касания кривых  $\mathcal{S}_2$  и  $Q_1$ , а корни  $N_1$  отвечают за точки трансверсального пересечения кривых  $\mathcal{S}_2$  и  $Q_1$ . Из этих корней необходимо взять лишь те,

которые обеспечивают вещественный корень уравнения (18) относительно  $\lambda$ , т.е. удовлетворяющие неравенству

$$P_1(\sigma) = [\sigma^2 - (a - b)^2](a + b - \sigma) \geq 0. \quad (19)$$

Количество и взаимное расположение таких корней может измениться лишь в следующих случаях: один из многочленов  $M_1, N_1$  имеет общий корень с  $P_1$ , либо один из этих многочленов имеет кратный корень в области (19). Вычисляем результаты

$$\begin{aligned} \text{Res}(M_1, P_1, \sigma) &= -a^4 b^4 (a - b)^6 (a + b); \\ \text{Res}(N_1, P_1, \sigma) &= -a^{16} b^{16} (a - b)^{20} (a + b)^2; \\ \text{Res}(M_1, M'_1, \sigma) &= -a^4 b^4 (a - b)^8 (a + b)^3; \\ \text{Res}(N_1, N'_1, \sigma) &= a^{66} b^{66} (a - b)^{106} (a + b)^{16} (343a^4 + 1362a^2 b^2 + 343b^4)^4. \end{aligned}$$

Самым удивительным является, конечно, последний. В нем отброшенный здесь числовой множитель содержит 76 цифр и равен  $2^{212} \times 3^{24}$ , однако, вычисляется точно. Ни одно из полученных выражений в нуль не обращается, поэтому качественная структура множества  $\mathcal{S}_2 \cap Q_1$  не зависит от параметров  $a, b$  в выбранной области их изменения. Следовательно, численное решение полностью определяет и качественную картину. Находим, что  $M_1$  имеет единственный корень в области (19) и он дает точку касания  $Q_1$  с кривой  $D_B$ . Многочлен  $N_1$  также имеет единственный корень в указанной области. Он порождает точку трансверсального пересечения  $Q_1$  с кривой  $D_A$  (рис. 2, a).

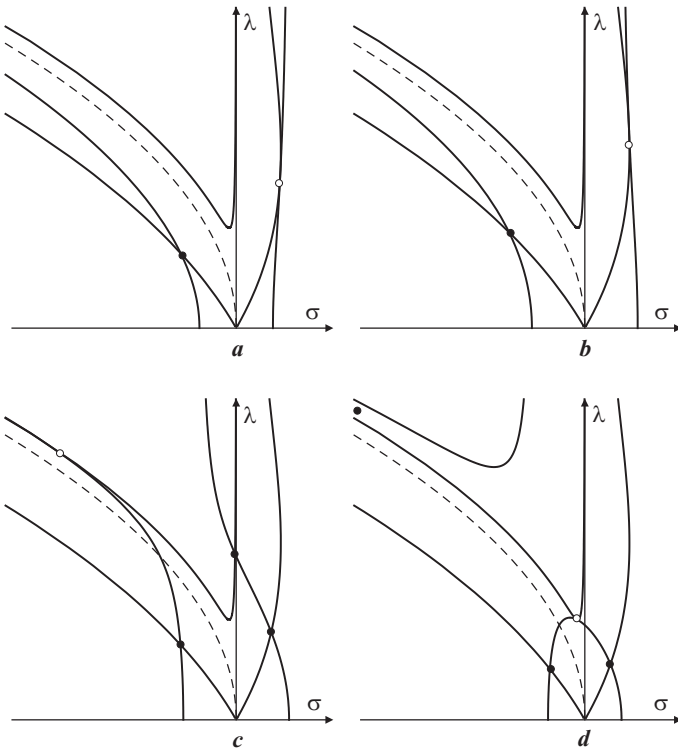


Рис. 2: Пересечения  $\mathcal{S}_2 \cap Q_i$ .



Рассмотрим пересечение  $\mathcal{S}_2 \cap Q_2$ . Отметим, что все уравнения получаются из уравнений для  $Q_1$  заменой  $b \rightarrow -b$ , поэтому верны выводы об отсутствии каких-либо общих или кратных корней у соответствующих многочленов  $P_2, M_2, N_2$ , т.е. качественная картина от параметров снова не зависит. Находим, что кривая  $Q_2$  имеет ровно одну точку пересечения с  $\mathcal{S}_2$  на ветви  $D_A$  и ровно одну точку касания с ветвью  $D_B$  (рис. 2, *b*).

Замечая, что случай с кривой  $Q_3$  получается из предыдущего заменой  $\lambda^2 \rightarrow -\lambda^2, \sigma \rightarrow -\sigma$ , с помощью аналогичных выкладок и рассуждений находим, что кривая  $Q_3$  имеет ровно по одной точке пересечения с каждой из ветвей  $D_A, D_B, D_C$  и одну точку касания с ветвью  $D_C$  (рис. 2, *c*).

Для пересечения  $\mathcal{S}_2 \cap Q_4$  все уравнения получаются из уравнений для  $Q_3$  заменой  $b \rightarrow -b$ . Находим, что кривая  $Q_4$  имеет ровно по одной точке пересечения с каждой из ветвей  $D_A, D_B, D_C$  и одну точку касания с ветвью  $D_C$ . Точка  $Q_4 \cap D_C$  имеет отрицательную координату  $\sigma$  по модулю на порядки больше остальных (например, для  $a = 1, b = 0.5$  эта точка имеет координаты  $\sigma \approx -1104.12; \lambda \approx 33.25$ ), поэтому на рис. 2, *d* она показана условно.

## 6 Перестройки разделяющего множества

Для почти всех значений физических параметров  $a, b$  структура разделяющего множества  $\mathcal{S}$  полностью определена. Перестройки этой структуры по указанным параметрам могут отвечать лишь случаям наличия в составе разделяющего множества точек кратности три и выше. Как отмечено ранее, пересечения трех  $Q_i$  всегда пусты, поэтому точек кратности четыре не существует, а точки кратности три возможны лишь для таких значений параметров  $a, b$ , при которых для некоторой пары индексов  $i \neq j$

$$\mathcal{S}_2 \cap Q_i \cap Q_j \neq \emptyset. \quad (20)$$

Заметим, что это же условие является необходимым и достаточным для того, чтобы при переходе параметров  $a, b$  через заданные значения могло измениться и взаимное расположение точек двух различных множеств  $\mathcal{S}_2 \cap Q_i$ .

Согласно предложению 1 имеется всего четыре точки, принадлежащие при  $\lambda > 0$  паре множеств  $Q_i$ , а именно, точки (9). Для исследования случая (20) необходимо проверить возможность  $q_{\pm}^{(ij)} \in \mathcal{S}_2$ , что означает равенство  $R_L(q_{\pm}^{(ij)}) = 0$ . Имеем

$$R_L(q_{\pm}^{(13)}) = 1024 a^{20} (A_1 \pm A_2) X, \quad X = (b/a)^2 > 0,$$

где

$$\begin{aligned} A_1 &= 1 + 32X + 118X^2 - 1756X^3 - 10511X^4 + 8388X^5 + \\ &\quad + 143104X^6 + 221840X^7 - 768X^8; \\ A_2 &= 8(1 + 3X)\sqrt{1 + 4X}(1 + 10X - 60X^2 - 370X^3 + 891X^4 + \\ &\quad + 4632X^5 + 16X^6). \end{aligned}$$

Обозначая  $\gamma = b/a \in [0, 1]$ , вычислим

$$\begin{aligned} A_1^2 - A_2^2 &= -(1 + 4\gamma + 9\gamma^2 + 18\gamma^3 + 20\gamma^4 + 12\gamma^5)^2 \times \\ &\quad \times (-1 + 4\gamma - 9\gamma^2 + 18\gamma^3 - 20\gamma^4 + 12\gamma^5)^2 \times \\ &\quad \times (-1 + 4\gamma^2 + 602\gamma^4 + 7140\gamma^6 + 24863\gamma^8 + 32928\gamma^{10}). \end{aligned} \quad (21)$$

Уравнение  $A_1^2 - A_2^2 = 0$  уже не содержит параметров и имеет ровно два положительных корня

$$\begin{aligned} b/a &= \gamma_* \approx 0.17865486876 \quad (\text{точка } q_-^{(13)}, \sigma < 0), \\ b/a &= \gamma^* \approx 0.44041017065 \quad (\text{точка } q_+^{(13)}, \sigma > 0). \end{aligned} \quad (22)$$

При этом первый из них является корнем многочлена в последней скобке (21), т.е. простым корнем, и поэтому в соответствующем случае все три кривые пересекаются трансверсально, а второй является корнем многочлена во второй скобке (21), входящей в это уравнение в квадрате, и поэтому, являясь кратным корнем, связан с точками касания. Разделяющее множество для значений (22) показано на рис. 3. Видно, что первое значение (рис. 3, *a*) отвечает случаю, когда кривые  $Q_1$  и  $Q_3$  пересекаются на ветви  $D_A$ , второе (рис. 3, *b*) – случаю, когда точка касания кривых  $D_C$  и  $Q_1$  находится на кривой  $Q_3$ , что и объясняет кратность данного значения  $b/a$  в уравнении (21).

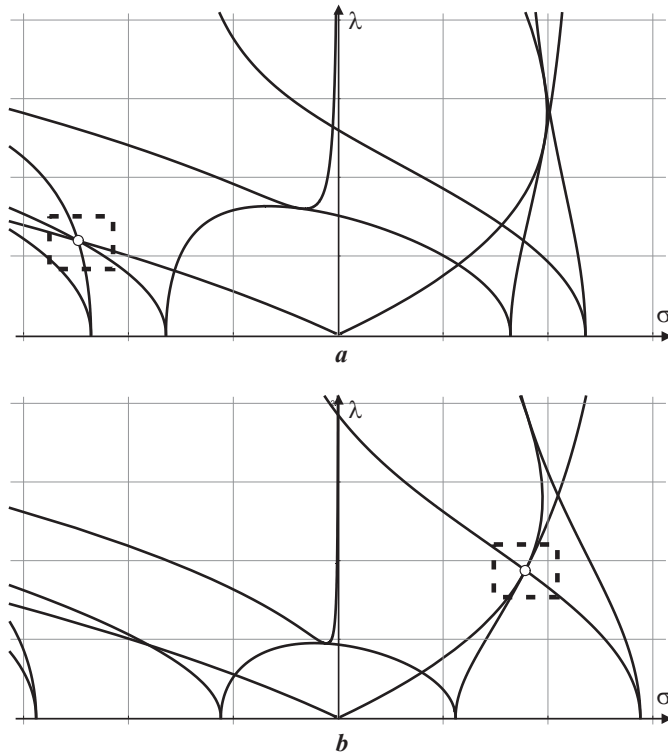


Рис. 3: Перестройки областей в окрестности  $b/a = \gamma_*, \gamma^*$ .

Заметим теперь, что точки  $q_{\pm}^{(12)}$  получаются из  $q_{\pm}^{(13)}$  перестановкой значений  $a$  и  $b$ , а функция  $R_L$  от такой перестановки не изменяется. Поэтому, проводя аналогичные вычисления для точек  $q_{\pm}^{(12)}$ , придём к уравнению вида (21), в котором уже  $Y = a/b$ . Для этого отношения найденные выше корни являются посторонними, так как  $a/b > 1$ . Таким образом, этот случай не реализуется при допустимых значениях параметров.

Итак, построенное множество  $\mathcal{S}$  разбивает верхнюю полуплоскость параметров  $(\sigma, \lambda)$  на 35 открытых областей, которые несложно закодировать в соответствии с номерами пары областей, порожденных первым и вторым разделяющими множествами. При переходе через значения (22) одна из таких областей исчезает, взамен появляется область уже с другим кодом и, соответственно, с другим количеством порожденных периодических траекторий. Поскольку внутри каждой из образовавшихся областей количество траекторий

измениться уже не может, то численный анализ дает полную картину. В четырех областях движений нет, в остальных количество траекторий варьируется от одной до пяти. Исследование разделяющего множества, определяющего условия существования и количества периодических траекторий закончено.

## 7 Заключение

В работе представлено полное аналитическое исследование разделяющих множеств в пространстве параметров задачи о движении гиростата Ковалевской в двойном поле, связанных с наличием и бифуркациями внутри совокупности критических точек ранга 1 интегрального отображения. Образ этого множества в трехмерном пространстве существенных параметров изоэнергетических многообразий определяет атлас бифуркационных диаграмм. Получены явные уравнения (6) и (17) для поверхностей в составе такого атласа, фактически решающие неявные уравнения высокой степени, полученные в работе [4] и, что еще более важно, исключающие посторонние решения этих уравнений. В результате получена аналитическая основа для полной классификации и визуализации бифуркационных диаграмм гиростата Ковалевской в двойном поле.

## Список литературы

- [1] *Рейман А.Г., Семенов-Тянь-Шанский М.А.* Лаксово представление со спектральным параметром для волчка Ковалевской и его обобщений // Функциональный анализ и его приложения. – 1988. – **22**, 2. – С. 87-88.
- [2] *Харламов М.П.* Области существования критических движений обобщенного волчка Ковалевской и бифуркационные диаграммы // Механика твердого тела. – 2006. – № 36. – С. 13-22.
- [3] *Харламов М.П.* Особые периодические движения гиростата Ковалевской в двойном поле // Механика твердого тела. – 2007. – № 37. – С. 85-96.
- [4] *Рябов П.Е.* Алгебраические кривые и бифуркационные диаграммы двух интегрируемых задач // Механика твердого тела. – 2007. – № 37. – С. 97-111.
- [5] *Kharlamov M.P.* Bifurcation diagrams and critical subsystems of the Kowalevski gyrostat in two constant fields // Hiroshima Math. J. – 2009. – **39**, 3. – P. 327-350.
- [6] *Харламов М.П.* Критическое множество и бифуркационная диаграмма задачи о движении волчка Ковалевской в двойном поле // Механика твердого тела. – 2004. – Вып. 34. – С. 47-58.